

شماره ۱۴۰، پاییز ۱۴۰۲

صص: ۹۷~۱۱۰

## بررسی شبکه تنظیمی ژن‌های مؤثر بر صفات تولید و ترکیبات شیر گوسفند با استفاده از مطالعات پویش کل ژنومی (GWAS)

- رمضانعلی عزیزی<sup>۱</sup>، امیرحسین خلت‌آبادی فراهانی<sup>\*</sup><sup>۲</sup>، محمد حسین مرادی<sup>۳</sup>، حسین محمدی<sup>۳</sup>، حسینعلی قاسمی<sup>۳</sup>
- ۱- دانش‌آموخته دانشکده کشاورزی و محیط زیست دانشگاه اراک و عضو هیئت علمی مرکز تحقیقات کشاورزی استان مرکزی
- ۲- دانشیار دانشکده کشاورزی و محیط زیست دانشگاه اراک، دانشکده کشاورزی و محیط زیست، گروه علوم دامی
- ۳- استادیار دانشکده کشاورزی و محیط زیست دانشگاه اراک، دانشکده کشاورزی و محیط زیست، گروه علوم دامی

تاریخ دریافت: خرداد ۱۴۰۱      تاریخ پذیرش: دی ۱۴۰۱

شماره تماس نویسنده مسئول: ۰۹۱۲۵۳۵۱۹۵۶

Email: amfarahanikh@gmail.com

شناسه دیجیتال (DOI) 10.22092/ASJ.2023.358881.2234:(DOI)

چکیده

امروزه بهمنظور بیهوده‌گیری از نتایج تحقیقات مرتبط با مطالعات پویش کل ژنومی (GWAS) و استفاده از آن در جهت ترسیم شبکه‌های تنظیم ژنی، مطالعات جدیدی در حال انجام می‌باشد که مبنای آن استفاده از الگوریتم‌های ماتریس AWM است. در مطالعه حاضر، برای ترسیم شبکه‌های ژنی از طریق الگوریتم‌های ماتریس PCIT-AWM و ارتباط SNP-PCIT-AWM و ترکیبات شیر گوسفند استفاده شد. برای این منظور از داده‌های تولید و ترکیبات شیر مربوط به ۴۶۹ رأس میش نژاد Valle del Belice و از اطلاعات ژنتیکی مربوط به ۳۷۲۲۸ نشانگر SNP استفاده شد. داده‌های فنتیپی شامل ۵۵۸۶ رکورد روز آزمایش برای ۶ صفت تولید شیر (مقدار تولید، میزان و درصد چربی، میزان و درصد پروتئین و تعداد سلول‌های بدنه شیر) بود و شبکه تنظیم ژنی آن‌ها با استفاده از برنامه cytoscape رسم شد. نتایج نشان داد که با استفاده از الگوریتم‌های ماتریس PCIT-AWM از بین ژن‌های کاندیدای شناسایی شده، که در ارتباط مستقیم و غیرمستقیم با صفات مرتبط با تولید شیر بودند ژن‌های OSBPL3، CAPN10 و FAT3، DDX25، CDH23، BAZIA، VGLL4، ERBB4 نشان داد که از بین ۱۰ ژن شناسایی شده، ژن DDX25 ارتباط بیشتری با ژن‌های دیگر دارد. نتایج مطالعه حاضر و سایر مطالعات نشان داد که فرآیند پیچیده تولید و ترکیبات شیر تحت تأثیر شبکه تنظیم ژنی بیش از ۱۰ ژن مهم و ارتباط با تعداد زیادی از ژن‌های دیگر قرار دارد و با توجه به تأیید نتایج حاصل از مطالعه قبلی در زمینه‌ی پویش ژنومی صفات تولید و ترکیبات شیر، و شناسایی مناطق ژنومی جدید مرتبط با این صفات، استفاده از یافته‌های این تحقیق، می‌تواند در انتخاب ژنتیکی گوسفند مفید باشد.

واژه‌های کلیدی: مطالعات پویش ژنومی (GWAS) - شبکه تنظیمی ژن - تولید شیر - گوسفند.

Animal Science Journal (Pajouhesh &amp; Sazandegi) No 140 pp: 97-110

**Study of gene regulatory network using a genome-wide association study for milk yield and composition traits in sheep**By: R. A. Azizi<sup>1</sup>, A. H. Khatabadi Farahani\*<sup>1</sup>, H. Moradi<sup>1</sup>, H. Mohammadi<sup>1</sup>, H. A. Ghasemi<sup>1</sup><sup>1</sup>: Department of Animal Science, Faculty of Agricultural, University of Arak, Arak, Iran**Received: June 2022****Accepted: January 2023**

Nowadays, new studies are being conducted based on the results of GWAS studies and the mapping of gene regulatory networks based on the use of AWM matrix algorithms. In the present study, to map gene networks using AWM-PCIT matrix algorithms and the association of SNPs with sheep milk production phenotypes and compositions was used. For this purpose, data on milk production traits in Valle del Belice sheep were used. After data quality control, 469 ewes and 37228 SNPs were used for final analysis. Phenotypic data were retained for analysis and contained 5586 Test day records for six milk production traits. Their gene regulation network was plotted using the cytoscape program. The results showed that using AWM-PCIT matrix algorithms, among the candidate genes that are directly and indirectly related to milk production traits, GENES OSBPL3, ERBB4, VGLL4, BAZ1A, DDX25, CDH23, ITSN2, DPY30, FAT3 and CAPN10 were identified. The results also showed that among the 10 genes identified, the *DDX25* gene was more closely related to other genes. The present study and other studies have shown that the complex process of milk production and composition is under the influence of the gene regulation network of more than 10 genes and is associated with many other genes. In total, this study supported previous results from GWAS of milk production and composition traits, also revealed additional regions in the sheep genome associated with these economically important traits. Using these findings could potentially be useful for genetic selection in the breeding programs.

**Key words:** Gene regulatory network, Milk production, Sheep, GWAS**مقدمه**

بز در سراسر جهان و در مجموع ۱۰۶ نژاد گوسفند وجود دارد که ۲۰/۸ درصد آن‌ها عمدتاً نژادهای شیرده هستند و ۹ نژاد اصلی گوسفند شیرده وجود دارد که عمدتاً در کشورهای مدیترانه‌ای و اروپایی پراکنده شده‌اند و دو سوم جمعیت جهانی گوسفندان شیری را شامل می‌شوند (Li و همکاران، ۲۰۲۲). از طرفی تولید شیر در اثر فرآیندهای فیزیولوژیکی متعددی می‌باشد که تحت تأثیر تعداد بسیار زیادی از ژن‌ها قرار دارد و وراثت‌پذیری تولید شیر در گوسفند از ۰/۱۶ تا ۰/۵۷ متغیر است (Haile و همکاران، ۲۰۱۹). لذا، بررسی داده‌های ژنومی توالی‌یابی شده توسط دستگاه‌های نسل جدید توالی‌یابی می‌تواند به درک بهتر ساز و کار تولید شیر در گوسفند کمک کند و از طرفی اطلاعات لازم را برای اصلاح نژاد گوسفند در خصوص تولید و ترکیبات شیر در

صنعت پرورش گوسفند شیری، بخش مهمی از صنعت پرورش نشخوار کنندگان کوچک است که منافع اقتصادی بالایی را برای پرورش دهنده‌گان گوسفند به دنبال دارد. فرآورده‌های لبنی یکی از مهم‌ترین مواد غذایی در تغذیه انسان به خصوص کودکان و نوجوانان است. به طوری که استفاده از آن‌ها اثر مستقیم و قابل توجهی بر سلامت انسان دارد. ارزش غذایی شیر گوسفند از شیر بز و شیر گاو بالاتر است و با داشتن چربی، درصد پروتئین و محتوای مواد معدنی بالاتر، فرصت مناسبی برای توسعه صنعت تولید شیر گوسفند فراهم می‌کند (Raynal و همکاران، ۲۰۰۸). گوسفند تقریباً ۱۱۰۰ سال پیش در آسیای جنوب غربی اهلی شده است و اکنون در سراسر جهان برای استفاده از گوشت، پشم و شیر آن‌ها پرورش داده می‌شود. حدود ۲۲۰۰ میلیون گوسفند و

مرتبط با تولید شیر (تولید، مقدار و درصد چربی شیر، مقدار و درصد پروتئین شیر و سلول‌های بدنی) در گوسفندانی که با استفاده از آرایه‌های ژنومی با تراکم بالا تعیین ژنتیک شده بودند، برای آنالیز استفاده شد.

استخراج داده‌های تعیین ژنتیک شده به همراه رکوردهای فتوتیپی از پایگاه‌های داده ذخیره‌ای آنلاین <https://www.animalgenome.org/repository/pub/UPIT2018.0> ۸۰ انجام گرفت.

### آنالیز پویش کل ژنومی (GWAS) و کنترل کیفیت داده‌های تعیین ژنتیک شده:

برای اجرای آنالیز پویش کل ژنومی، ارزش اصلاحی برآورد شده (EBVs) برای صفات مربوط با تولید و ترکیبات شیر شامل تولید شیر، مقدار و درصد پروتئین، مقدار و درصد چربی و تعداد سلول‌های سوماتیکی شیر به عنوان فتوتیپ حیوانات تعیین ژنتیک شده استفاده شد. مطالعه آنالیز پویش کل ژنومی با استفاده از نرم افزار PLINK نسخه ۱/۹ انجام گرفت و برای حصول اطمینان از کیفیت داده‌ها در آنالیزهای بعدی، این داده‌ها توسط نرم افزار PLINK (Purcell و همکاران، ۲۰۰۷) و با اعمال یک سری مراحل کنترل کیفیت، داده‌های دارای اطلاعات کم کیفیت از قبیل ژنتیکی مونومورف و ژنتیکی با فراوانی آلی نادر (MAF) کمتر از ۵ درصد از آنالیزهای بعدی حذف شدند. همچنین نشانگرهای SNP که در تعادل‌هاردي واینبرگ نبودند و یا موقعیت فیزیکی برای آخرین نسخه ژنومی در دسترس نبود از آنالیز نهایی حذف شدند.

### تشکیل ماتریس (AWM)

ماتریس AWM با انتخاب SNP مربوطه از مطالعات پویش کل ژنومی (GWAS) ژن‌ها ایجاد شد. معیارهای انتخاب SNP‌ها که مشخصاً ژن‌ها را در ماتریس AWM نشان می‌دهد شامل (۱) اهمیت اثر جایگزینی آلی اندازه‌گیری شده برای هر SNP (۲) همبستگی بین فتوتیپ‌ها و (۳) موقعیت ژنومی. معیارهای انتخاب ژن‌های حاوی SNP با ارتباط معنی‌دار در بین فتوتیپ‌های مرتبط بود. این معیارها به صورت متواലی اعمال شدند: ابتدا، اثر جایگزینی

اختیار محققان قرار دهد. بررسی شبکه‌های تنظیم ژنی کاربردهای مختلفی دارد، از جمله با استفاده از این شبکه می‌توان اثرات متقابل بین ژن‌ها و اثرات متقابل احتمالی که بین هر جفت پروتئین حاصل از ژن‌ها وجود دارد را مورد بحث قرار داد و ارتباطات مولکولی که از نظر آماری معنی‌دار باشند را ارائه کرد. علاوه بر این، از شبکه‌های تنظیم ژنی می‌توان جهت یافتن نشانگرهای زیستی برای شناسایی، تشخیص و تخمین اهداف بیولوژیکی نیز بهره برد (Kang و همکاران، ۲۰۱۷). در سال‌های اخیر محققین، استفاده از ماتریس Association Weight Matrix (AWM) را به عنوان یک رویکرد جدید برای ادغام فتوتیپ‌های مرتبط و نظریه شبکه ژنی پیشنهاد کرده‌اند، ماتریس AWM اولین بار توسط Fortes و همکاران (۲۰۱۰) در یک جمعیت گاو گوشته گزارش شد. استفاده از ماتریس AWM دو جنبه دارد: (۱) همبستگی بین فتوتیپ‌ها را تخمین می‌زند و (۲) تعاملات ژن - ژن را در کل ژنوم بررسی می‌کند. ماتریس AWM برای فتوتیپ‌های پیچیده جهت بررسی اثرات تنظیمی پیشنهاد شده است که با استفاده از رویکرد ماتریس AWM می‌توان نتایج حاصل از مطالعات پویش کل ژنومی (GWAS<sup>۱</sup>) را توسعه داد (Fortes و همکاران، ۲۰۱۰).

در مطالعه حاضر، شبکه تنظیم ژنی مرتبط با تولید و ترکیبات (پروتئین، چربی و سلول‌های سوماتیکی) شیر گوسفند مورد بررسی قرار خواهد گرفت و هدف از انجام مطالعه حاضر، ایجاد زمینه مورد نیاز جهت به کارگیری اطلاعات ژنومی و مطالعات پویش ژنومی (GWAS) جهت شناسایی ژن‌های کاندیدا و شبکه‌های تنظیم ژنی موثر بر تولید و ترکیبات شیر با استفاده از الگوریتم‌های ماتریس AWM می‌باشد.

### مواد و روش‌ها

#### استخراج داده‌های تعیین ژنتیک شده:

در مطالعه حاضر، از داده‌های مربوط به تولید و ترکیبات شیر گوسفند نژاد Valle del belice برای مطالعات پویش کل ژنومی (GWAS) استفاده شد (Sutera و همکاران، ۲۰۱۸؛ Sutera و همکاران، ۲۰۱۹). برای این منظور برخی صفات

<sup>۱</sup> - genome-wide association studies

$$r(x,y) = \frac{\sum(x-xm)(y-ym)}{\sqrt{\sum(x-xm)^2 \sum(y-ym)^2}} \quad (\text{رابطه ۲})$$

در این رابطه،  $x$  مقدار اثر محاسبه شده  $SNP$  برای یک فتوتیپ و  $y$  مقدار اثر  $SNP$  محاسبه شده برای فتوتیپ دیگر است.

### بهره بوداری از ردیف‌های AWM برای ترسیم شبکه اثرات متقابل ژن:

از همبستگی‌های جفتی در ردیف‌های ماتریس AWM برای پیش‌بینی اثرات متقابل ژن-ژن (یا ژن- $SNP$ ) برای تشکیل یک شبکه استفاده شد. در این شبکه، هر ژن یا  $SNP$  هنگامی که به عنوان دسته "خیلی دور" منظور شد یک گره و هر اثر متقابل یک لبه تعیین شد. نهایتاً شبکه ژنی در برنامه نرم افزاری MCODE با رویه Cytoscape و با استفاده از نتایج تجزیه و تحلیل الگوریتم‌های ماتریس AWM و ترکیب آن با الگوریتم‌های PCIT ارتباط ژن و شبکه‌های تنظیمی ژن با استفاده از الگوی شکل ۱ ترسیم شد (Bader و Hogue، ۲۰۰۳).

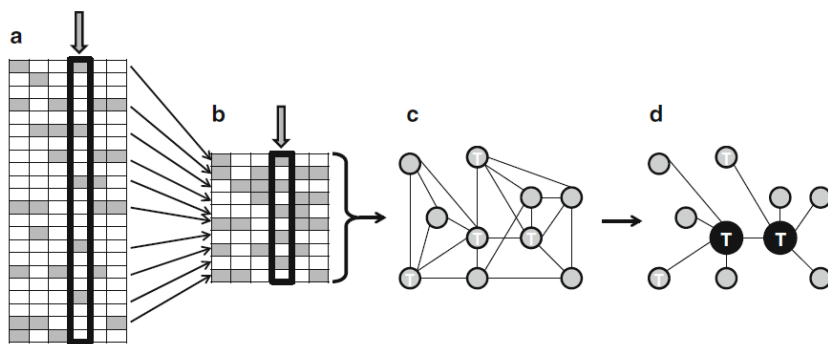
در شکل ۱ نحوه تشکیل ماتریس AWM توضیح داده شده است: (a) مرتب کردن  $SNP$ ‌ها در ردیف و فتوتیپ‌ها در ستون با توجه به اثرات افزایشی. در این نمودار اثرات مورد نظر با سلول‌های تیره‌تر نشان داده شده و فتوتیپ کلیدی در ستون چهارم برجسته شده است. (b) در مجموع  $SNP$ ‌های مرتب با فتوتیپ کلیدی و یا با تعداد زیادی فتوتیپ برای تولید زیرمجموعه‌ای از ماتریس اصلی انتخاب شدند. (c) تجزیه و تحلیل همبستگی برای ایجاد یک شبکه ژنی با تعدادی ژن مهم که به هم مرتبط شده اند انجام شد. (d) با تجزیه و تحلیل نهایی می‌توان شبکه اصلی را با حذف اتصالات غیر ضروری دقیق‌تر ترسیم کرد.

آلن امین  $SNP$  بر روی ژامین فتوتیپ در توزیع  $Z$  استاندارد شد تا امکان مقایسه بین فتوتیپ‌ها را به شرح رابطه ۱ فراهم کند:

$$Z_{ij} = \frac{X_{ij} - \bar{X}_j}{S_j} \quad (\text{رابطه ۱})$$

در این رابطه  $Z_{ij}$  اثر استاندارد شده ژامین  $SNP$  بر روی ژامین فتوتیپ است.  $X_{ij}$  اثر  $i$  امین  $SNP$  بر روی  $j$  امین فتوتیپ در واحدهای اصلی است.  $\bar{X}_j$  میانگین  $X_{ij}$  در تمام  $SNP$ ‌ها است. و  $S_j$  انحراف استاندارد  $X_{ij}$  در کل  $SNP$ ‌ها بود.

در مرحله دوم صرف نظر از موقعیت ژنومی نشانگرها،  $SNP$  با  $P < 0.05$  در ۶ فتوتیپ مورد نظر برای تشکیل ماتریس AWM استفاده شد. در مرحله سوم، هر  $SNP$  را با توجه به فاصله تعیین شده آن از نزدیک‌ترین ژن شرح داده شد و به عنوان نزدیک، دور، خیلی دور یا unmapped طبقه‌بندی شد. در نظر  $SNP$  گرفته شده "نزدیک" در  $\geq 2/5$  Kb از نزدیک‌ترین ژن قرار داشت.  $SNP$  در نظر گرفته شده "خیلی دور"  $\leq 1/5$  Mb از نزدیک‌ترین ژن فاصله داشت. بر این اساس، در فاصله  $SNP$  تا ژنی که بین "نزدیک" و "خیلی دور" قرار داشت، به عنوان "دور" حاشیه‌نویسی شد.  $SNP$ ‌های دور یا "unmapped" از تجزیه و تحلیل نهایی کنار گذاشته و فقط گروههای "نزدیک" و "خیلی دور" انتخاب شدند. از آنجایی که تولید شیر فتوتیپ اصلی بود، تمام  $SNP$ ‌های دارای  $P < 0.05$  برای صفات دیگر انتخاب شدند. ماتریس AWM با لحاظ کردن همه  $SNP$ ‌هایی که برای هر ۶ فتوتیپ معنی‌دار بودند، ایجاد شد (Fortes و همکاران، ۲۰۱۰). همبستگی‌های جفتی بین تولید شیر و ۵ فتوتیپ دیگر با استفاده از مقادیر اثر  $SNP$  (رابطه ۲) محاسبه شد. در مرحله اول، تمام  $SNP$ ‌های موجود از ژنوتیپ kb ۵۰ برای این محاسبه استفاده شد، و زیرمجموعه  $SNP$  انتخاب شده برای AWM در نمونه دوم استفاده گردید.



شکل ۱- روند ترسیم شبکه تنظیمی ژن با استفاده از ماتریس AWM و الگوریتم‌های PCIT

قرار داشتند، (ب) بسیار نزدیک به ژن‌های شناخته شده قرار داشتند، یا (ج) در فاصله دورتری قرار داشتند، این شرط را می‌توان با گنجاندن SNP‌های unmapped برقرار نمود و برای تعریف این شرط از MAP یا فاصله بیشتر از  $1/5 \text{ Mb}$  استفاده شد. در این مرحله، SNP‌های دور یا unmapped از تجزیه و تحلیل کنار گذاشته شدند و فقط از گروه‌های نزدیک و خیلی دور استفاده شد. اسکریپت R مربوط به این مرحله به شرح زیر بود:

#### مرحله ۵: ایجاد رابطه "One SNP-One Gene"

در این مرحله SNP مرتبط با بیشترین تعداد فنوتیپ و دارای کمترین میانگین P-value در همه فنوتیپ‌ها به عنوان نماینده ژن انتخاب شد.

#### مرحله ۶: تکمیل کردن ماتریس AWM

در این مرحله برای تکمیل ماتریس AWM با استفاده از نتایج GWAS، در هر سلول  $\{i, j\}$  AWM، ارتباط آمین ژن را با آزمین فنوتیپ با اثر افزایشی SNP اختصاص داده شده به آن ژن مطابق مراحل قبلی نقشه برداری برای SNP در شرایط (i) و (ii) مرحله ۴ اختصاص داده شد. به منظور امکان مقایسه مستقیم بین فنوتیپ‌ها، اثرات افزایشی SNP با تقسیم هر اثر فردی بر انحراف استاندارد اثر همه SNP در فنوتیپ ستون  $j$  ام استاندارد شد. اسکریپت R مربوط به این مرحله به شرح زیر بود:

ماتریس AWM در شش مرحله به شرح زیر تشکیل گردید (Fortes Reverter) :

#### مرحله ۱: انتخاب اولیه SNP

در این مرحله SNP‌هایی انتخاب شد که با فنوتیپ کلیدی مرتبط بودند (تولید شیر) و دارای  $P < 0.05$  بودند. اسکریپت‌های R مربوط به این مرحله به شرح زیر بود:

#### مرحله ۲: بررسی همبستگی بین فنوتیپ‌ها

برای SNP‌هایی انتخاب شده در مرحله اول، میانگین تعداد فنوتیپ‌های غیرکلیدی را که به آنها مرتبط هستند، ثبت گردید. در این مرحله برای علامت گذاری، از عبارت AP که این میانگین را نشان دهد استفاده شد. همچنین برای شمارش تعداد فنوتیپ‌هایی که SNP معین به آنها مرتبط است، از همان معنی داری قابل استفاده شد ( $P < 0.05$ ). Ap تابعی از میزان وابستگی موجود در بین فنوتیپ‌ها می‌باشد اسکریپت R مربوط به این مرحله به شرح زیر بود:

#### مرحله ۳: انتخاب SNP ثانویه

در این مرحله SNP‌هایی انتخاب شدند که با حداقل فنوتیپ‌های AP مرتبط هستند. اسکریپت R مربوط به این مرحله به شرح زیر بود:

#### مرحله ۴: بهره بوداری از نقشه ژنوم

از SNP‌هایی که در مراحل انتخاب اولیه و ثانویه، آنها مورد شناسایی قرار گرفتند که (الف) در مناطق کدگذاری MAP

## توسیم شبکه اثرات متقابل ژن با استفاده از ماتریس AWM:

MCODE برای شناسایی خوشه‌هایی از ژن‌های بسیار بهم پیوسته استفاده شد.

از نرم افزار Cytoscape برای ترسیم شبکه ژنی استفاده شد. ژن‌های شناسایی شده در شبکه تنظیم ژنی با استفاده از بانک اطلاعاتی DAIVID برای بررسی مسیرهای شناخته شده بیشتر مورد تجزیه و تحلیل قرار گرفتند (Dennis و همکاران، ۲۰۰۳؛ Huang و همکاران، ۲۰۰۹).

### نتایج و بحث کنترل کیفیت داده‌ها و توزیع نشانگرها بر روی کروموزوم‌های مختلف:

در مطالعه حاضر از داده‌های کنترل کیفیت شده مربوط با آرایه‌های ژنومی با تراکم نشانگری K<sub>50</sub> استفاده شد که در نهایت پس از اجرای مراحل مختلف ویرایش داده‌ها تعداد ۴۲۶ رأس دام و ۴۲۸۵ نشانگر SNP جهت پویش ژنومی (GWAS) صفات تولید شیر، درصد و مقدار چربی، درصد و مقدار پروتئین و سلول‌های بدنی شیر استفاده گردید. مراحل مختلف کنترل کیفی

در جدول ۱ آرائه شده است.

ساختار جدول مانند ماتریس AWM این امکان را فراهم می‌کند که بتوان از آن به عنوان ورودی در اکثر برنامه‌های نرم افزار تحلیل خوشه‌ای استفاده کرد. برای این منظور، از نرم افزار PermutMatrix که یک برنامه کا ریپسند برای انجام تجزیه و تحلیل گرافیکی می‌باشد استفاده شد (Caraux و Pinloche، ۲۰۰۵).

همبستگی‌های بین ردیف‌ها با استفاده از الگوریتم PCIT شناسایی شد و به عنوان برهمنشنهای ژن-ژن یا ژن SNP در یک شبکه گزارش شد (Reverter و chan، ۲۰۰۸). خروجی PCIT می‌تواند به عنوان ورودی برای برنامه Cytoscape که یک برنامه نرم افزاری قوی برای ساخت و تجزیه و تحلیل شبکه می‌باشد استفاده شد (Shannon و همکاران، ۲۰۰۳). برای این منظور تعدادی پلاگین Cytoscape برای تعیین ویژگی‌های مختلف شبکه‌ها وجود دارد، که در این مطالعه از رویه

جدول ۱- توصیف مراحل مختلف بررسی کنترل کیفیت داده‌های اولیه مورد استفاده در تحقیق حاضر

	تعداد حیوانات
۴۷۶	حذف نمونه‌هایی با بیش از ۰/۰۵ ژنوتیپ از دست رفته
۵۰	تعداد کل نمونه‌های باقی مانده
۴۲۶	تعداد کل نشانگرها
۴۶۸۲۷	حذف نشانگرها با انحراف از تعادل هارדי-واینبرگ ۰.۰۰۱
۱۷۱۹	حذف نشانگرها با MAF < 0.02
۲۰۶۶	تعداد نشانگرها باقی مانده
۹۹۹	آماره‌های توصیفی رکوردهای فنوتیپی مربوط به صفات تولید و
۴۲۲۸۵	ترکیبات شیر در نزد del belice Valle در جدول ۲ نشان داده شده است.

هم متفاوت بود به طوری که بیشترین تعداد نشانگر روی کروموزوم یک (۶۷۶۹) و کمترین تراکم نشانگر روی کروموزوم ۲۶ (۸۶۸) قرار داشت (شکل ۲). همچنین میانگین فاصله بین نشانگرهای SNP نیز روی کروموزم متفاوت بود به طوریکه کمترین فاصله با

آماره‌های توصیفی رکوردهای فنوتیپی مربوط به صفات تولید و ترکیبات شیر در نزد del belice Valle در جدول ۲ نشان داده شده است.

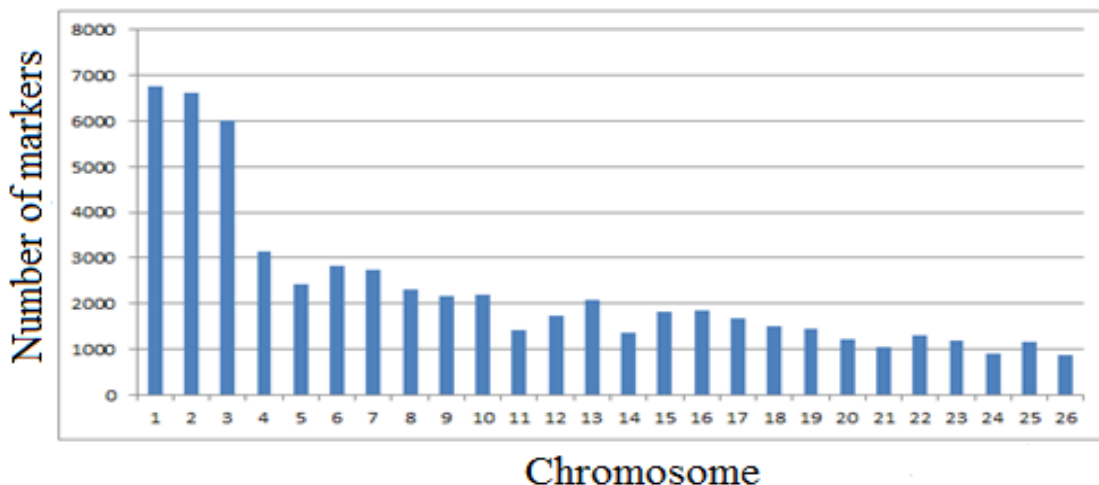
در مطالعه حاضر نشان داده شد که توزیع SNP روی کروموزوم‌ها با

میانگین برابر با (۵۳۴۰۶۸) مربوط به کروموزوم ۸ بیشترین میانگین

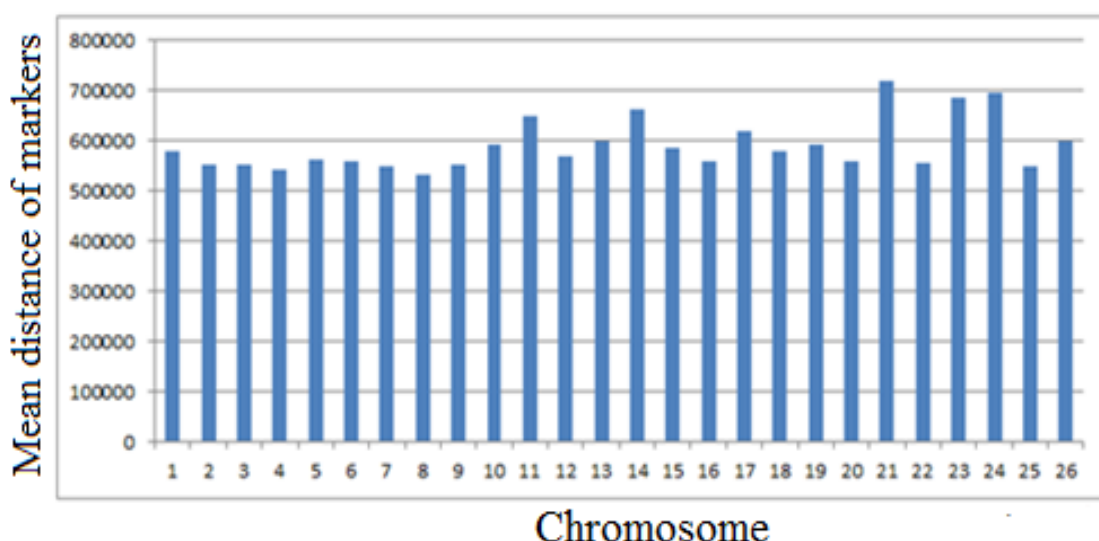
جدول ۲: آمار توصیفی تولید شیر (MY, g)، تعداد سلول‌های سوماتیکی (SCC $\times 10^3$ )، درصد چربی (%) و پروتئین (P%) در نژاد

.Valle del Belice  
گوسفند

حداکثر	حداقل	انحراف معیار	میانگین	واحد	صفات
۴۳۰۰	۵۶	۶۰۳	۱۱۳۵	گرم	تولید شیر
۱۴/۵۶	۲/۳۳	۱/۲۳	۷/۲۵	درصد	چربی
۱۳/۹	۳/۴۶	۰/۷۲	۵/۸	درصد	پروتئین
۲۹۳۶۸	۵	۳۵۴۷	۱۵۴۴	تعداد	SCC $\times 10^3$



شکل ۲- تعداد نشانگرهای مورد استفاده در تحقیق حاضر به تفکیک کروموزوم



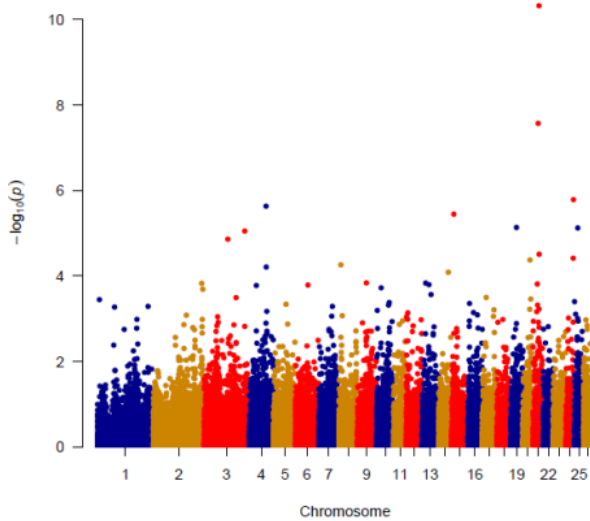
شکل ۳- میانگین فاصله نشانگرهای مورد استفاده در تحقیق حاضر به تفکیک کروموزوم

### مطالعه پویش ژنومی (GWAS) برای صفات مختلف

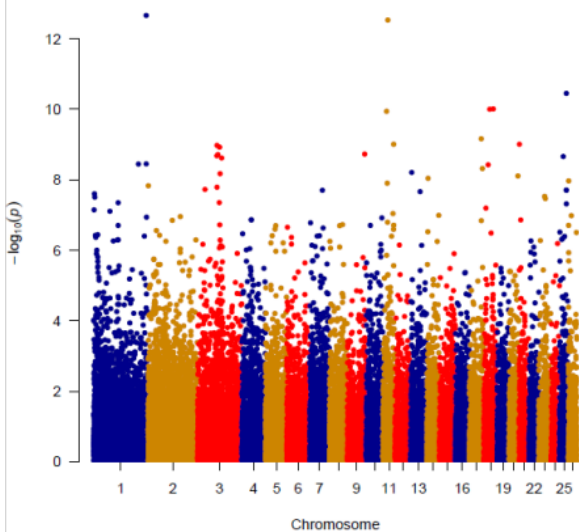
محور Y ارزش‌های منفی لگاریتم P-value نمایش داده شده است. SNP‌هایی که بالاتر از خط قرمز، و بین خط آبی و قرمز هستند، به ترتیب جزو نشانگرهای معنی‌دار و پیشنهادی برای هر صفت محاسبه شوند (شکل‌های ۴، ۵ و ۶).

پلات‌های منهتن حاصل از مطالعه پیوستگی ژنومی برای صفات تولید شیر (MY)، درصد چربی (F%)، درصد پروتئین (P%) و مقدار تولید پروتئین (PY) رسم شد. دراین گراف‌ها بر روی محور X موقعیت SNP‌ها در کروموزوم‌های مختلف و روی

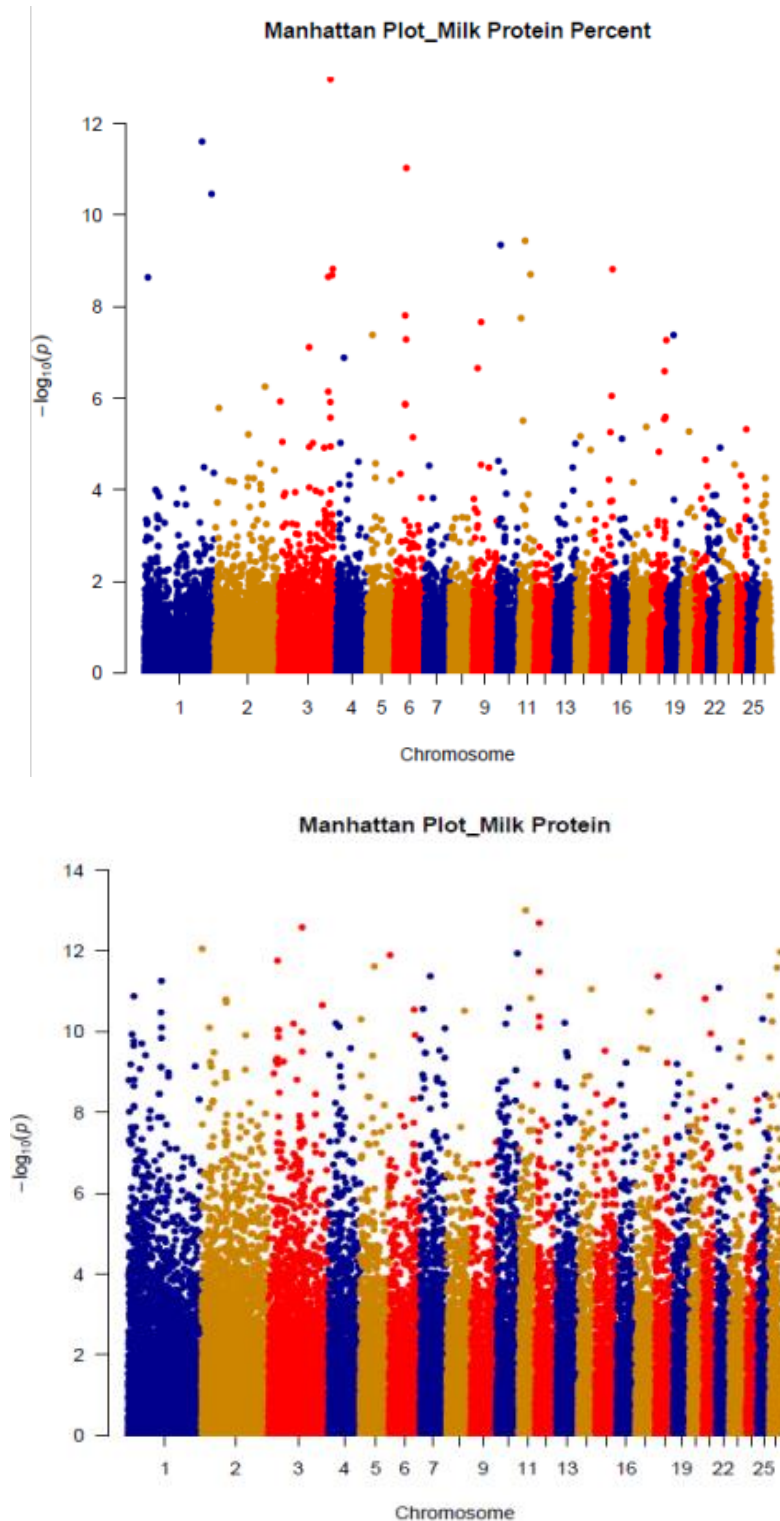
Manhattan Plot\_Fat percent



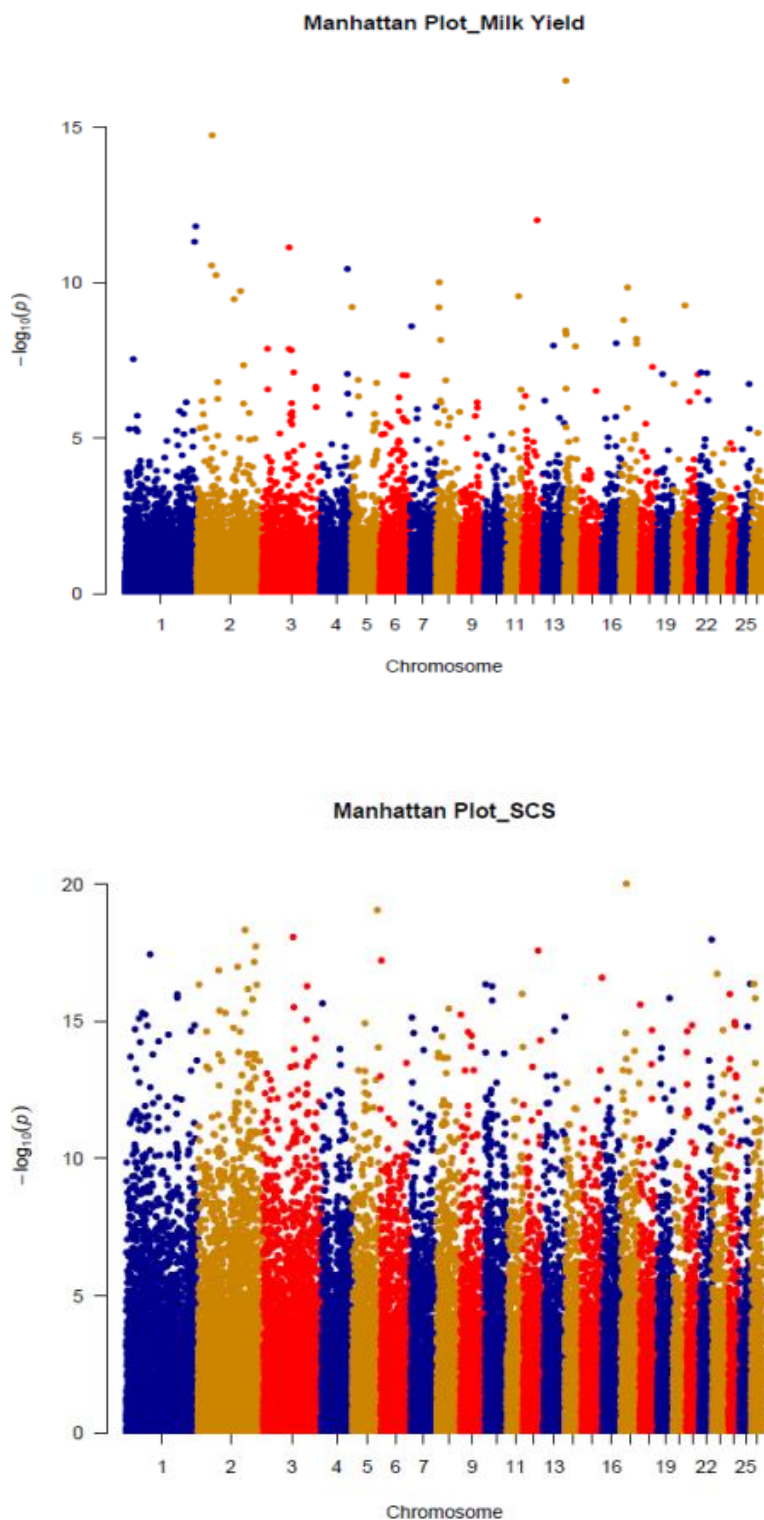
Manhattan Plot\_Milk Fat



شکل ۴- پلات منهتن برای صفات مرتبط با مقدار و درصد چربی.



شکل ۵- پلات منهتن برای صفات مرتبط مقدار و درصد پروتئین.



شکل ۶- پلات منهتن برای صفت مرتبط عملکرد شیر و سلول‌های سوماتیک

*VGLL4*, *ERBB4*, *OSBPL3*, *FAT3*, *DPY30*, *ITSN2*, *CDH23*, *DDX25*, *BAZIA* و *CAPN10* بودند (شکل ۷ و جدول ۳).

نتایج مطالعه حاضر نشان داد که با استفاده از الگوریتم‌های ماتریس AWM از بین ژن‌های کاندیدای شناسایی شده ژن‌های کاندیدای مهم که در ارتباط مستقیم و غیرمستقیم با صفات مرتبط با تولید

جدول ۳- مشخصات ژن‌های شناسایی شده در شبکه تنظیم ژنی

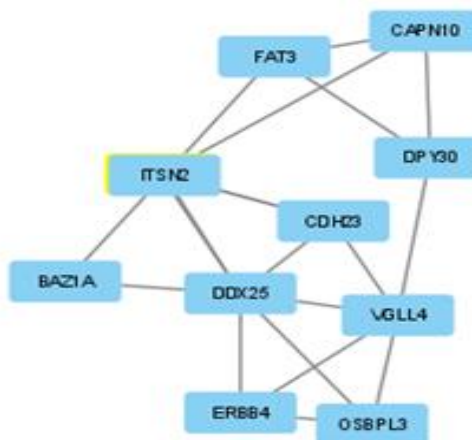
Gen bank	Gene Abbreviation	The full name of the gene	FPKM <sup>2</sup>
BC109867	<i>DDX25</i>	Dead (Asp-Glu-Ala-Asp) Box Polypeptide 25	188.791
BC102970	<i>HSBP1</i> , <i>OSBPL3</i> , <i>ERBB4</i> , <i>TUBB</i> , <i>ERBB2</i> , <i>VGLL4</i>	heat shock factor binding protein 1 testis-specific serine kinase 3 Dependent anion channel 2	156.88 10.77 67.005
786886	<i>BAZIA</i>	Chromatin-dependent regulation of transcription.	12.5
AY508164	<i>CDH23</i>	Epithelial cells. Cadherin related 23	
BC110170	<i>ITSN2</i> , <i>CSNK2B</i>	Casein Kinase 2, Beta Polypeptide	110.244
BC102328	<i>SNRPB2</i>	Ribonucleoprotein Polypeptide B"	109.087
BC109581	<i>Dpy30</i> , <i>DYDC1</i> , <i>FAT3</i>	Dpy30 Domain Containing 1 FAT3; FAT atypical cadherin 3, protocadherin Fat 3	154.473
BC109951	<i>CAPN10</i> , <i>CAPZA3</i> , <i>CAPZA1</i> , <i>CAPZB</i>	Filament) Muscle Z-Line, Alpha 3capping protein (actin filament) muscle Z-line, alpha 1 capping protein (actin filament) muscle Z-line, beta	402.076
BC110030	<i>BCAP29</i> , <i>CAP1</i>	B-cell receptor-associated protein 29 similar to CAP1 protein; CAP, adenylate cyclase-associated protein 1 (yeast)	186.465

ژن *DDX25* موتیف حفاظت شده (Asp-Glu-Ala-Asp (DEAD) RNA می‌باشد که پروتئین هیلیکازهای RNA هستند. این ژن در تعدادی از فرآیندهای سلولی شامل تغییر ساختار ثانویه RNA، نقش دارد. اعتقاد بر این است که بر اساس الگوهای توزیع آن‌ها، برخی از اعضای خانواده پروتئین DEAD BOX در تشکیل جنین، تولید اسپرم و رشد و تقسیم سلولی نقش دارند (Suthar و همکاران، ۲۰۱۶). در مطالعه

حاضر نشان داده شد که ژن *DDX25* علاوه بر تاثیر بر صفات تولید مثلی بر صفات تولید و ترکیبات شیر نیز موثر است.

ژن *OSBPL3* یکی از اعضای خانواده *OSBP* است که در انتقال چربی، متابولیسم لیپید و سیگنالهای سلولی نقش دارد (Du و همکاران،

.۲۰۱۸)



شکل ۷- شبکه تنظیمی ژن ترسیم شده با استفاده از الگوریتم‌های ماتریس PCIT و AWM

<sup>2</sup>-Fragments Per Kilobase of exon per Million fragments mapped (FPKM)

و همکاران، ۲۰۲۰). Ramzan)

ژن *BAZIA* فاکتور بازسازی کروماتین ACF1 را کد می‌کند، ACF1، یک کمپلکس بازسازی کننده کروماتین وابسته به ATP، که فاصله نوکلئوزوم‌ها را با استفاده از ATP تنظیم می‌کند تا نوکلئوزوم‌هایی با فاصله یکنواخت در طول کروماتین نقش تولید کند. این ژن همچنین در تسهیل فرآیند تکثیر DNA نوش دارد. علاوه بر این، اخیراً نشان داده شده است که ژن *BAZIA* در سه مسیر متمایز (۱) تنظیم ویتامین D، (۲) سیگنالدهی Wnt و (۳) سیگنالدهی پس‌سیناپسی نقش آفرینی می‌کند (Zaghlool و همکاران، ۲۰۱۶).

ژن *FAT3* (FAT Atypical Cadherin 3) یک ژن کد کننده پروتئین است. وظیفه اصلی این ژن تنظیم یون کلسیم است. *FAT4* همچنین در مهار تکثیر سلولی نقش دارد (Okajima و همکاران، ۲۰۲۰).

ژن *DPY30* مسیرهای پیر سلولی را تنظیم می‌کند. پیری سلولی یک مکانیسم دفاعی ذاتی در برابر تنش‌های سلولی مختلف است. ژن *DPY30* یک تنظیم کننده کلیدی در تکثیر سلول‌های اولیه انسانی است و چنانچه ژن *DPY30* حذف گردد، سلول‌ها نقش شدید در تکثیر نشان می‌دهند و نشانه‌های بروز فتوتیپ پیری را نشان می‌دهند (Simboeck و همکاران، ۲۰۱۳). از طرفی وجود ژن *DPY30* برای حفظ ساختار و عملکرد سلول‌های بنیادی خونساز بالغ حیاتی است. ژن *DPY30* در تمايز سلول‌های بنیادی خونساز بسیار موثر است و در صورت نقص در این ژن با کاهش شدید سلول‌های خونساز بالغ همراه خواهد بود (Yang و همکاران، ۲۰۱۶).

ژن *CAPN10*، ژن کد کننده سیستین پروتئین پروتئاز کالپین-۱۰ است که با دیابت نوع ۲ مرتبط می‌باشد. کالپین‌ها پروتئازهای تنظیم شده با کلسیم هستند که در عملکردهای سلولی شامل پروتئولیز عضلانی هم قبل و هم پس از مرگ دخالت دارند (Evans و همکاران، ۲۰۰۱).

ژن *ITSN2*، پروتئین Intersectin-2 را در انسان کدگذاری می‌کند. این ژن یک پروتئین سیتوپلاسمی حاوی دامنه‌های SH3 را کد می‌کند. این پروتئین عضوی از خانواده پروتئین‌هایی است که در اندوسیتوز با واسطه کلاترین دخیل هستند و در اندوسیتوز اینتگرین بتا-۱ (ITGB1) و گیرنده ترانسفرین (TFR) نقش دارد (Pucharcos و همکاران، ۲۰۰۰). در مطالعه حاضر نشان داده شد که این ژن در فرآیند تولید و ترکیبات شیر نیز نقش دارد که احتمالاً در فرآیند انتقال مواد معدنی به داخل شیر از جمله آهن می‌تواند نقش داشته باشد.

ژن *ERBB4* نقش مهمی در افزایش فرآیند لاکتوژن و تمايز غده پستانی در دوران آبستنی ایفا می‌کند (Williams و همکاران، ۲۰۱۷). علاوه بر این، ژن *ERBB2* که عضو دیگر این خانواده می‌باشد و به عنوان یک ژن کاندیدا موثر بر غلظت پروتئین شیر در گاوهای شیری گزارش شده است (Li و همکاران، ۲۰۱۶). در مطالعه دیگری نشان داده شد که ژن *ERBB2* بر صفت پروتئین شیر در گاوهای شیری موثر است. نتایج مطالعات انجام شده اثرات ژنتیکی قابل توجه ژن *ERBB2* را بر مقدار پروتئین شیر و سایر صفات تولید شیر گاوهای هشتادین چنی تایید کردند و نشان دادند که واریانس فنوتیپی SNP بالای یک درصد ممکن است به عنوان نشانگر ژنتیکی در برنامه‌های اصلاح نژاد گاو شیری عمل کند (Li و همکاران، ۲۰۱۸).

ژن *VGLL4* به همراه ژن‌های *ACOXL* و *ANKRD23* در متابولیسم اسیدهای چرب و انرژی نقش دارند. این پروتئین نقش مهمی در توسعه فیر عضلانی اسکلتی و هایپرترووفی ایفا می‌کند. *ANKRD23* در قلب موش، ماهیچه اسکلتی و چربی قهوه‌ای بیان می‌شود و با متابولیسم اسیدهای چرب ارتباط دارد (Dong و همکاران، ۲۰۰۷).

ژن *CDH23* گلیکوپروتئین چسبنده سلولی وابسته به کلسیم را با چندین حوزه cadherin-like domains کدگذاری می‌کند. پروتئین *CDH23* به ابرخانواده *cadherin* تعلق دارد که خانواده‌ای از پروتئین‌های غشایی را تشکیل می‌دهد که واسطه چسبندگی سلولی وابسته به کلسیم است

ژن‌هایی که سازگار با عوامل بیولوژیکی شناخته شده تولید شیر هستند، بینش‌های جدیدی را برای تحقیقات بیشتر فراهم می‌کنند که ممکن است به درک بهتر فرآیندهای تولید شیر در سایر پستانداران نیز کمک کند. در نهایت ادغام اطلاعات عملکردی و تنظیم ژن با روش‌های آماری GWAS ممکن است داشت مکانیسم‌های ژنومی مؤثر بر فتوتیپ‌های پیچیده را افزایش دهد. در این تحقیق به دلیل عدم دسترسی به رکوردهای فتوتیپی و اطلاعات ژنوتیپی مرتبط با صفت مورد مطالعه تحقیق حاضر در دام‌های بومی کشور، از اطلاعات فتوتیپی و ژنوتیپی کشور چین استفاده شد. لذا استفاده از نتایج این تحقیق در جمعیت‌های گوسفدان کشور نیاز به مطالعات بیشتر دارد تا در این جمعیت‌ها نیز تأیید شوند.

## نتیجه‌گیری

با توجه به چالش‌های موجود در صنعت پرورش گوسفند و تولید شیر در کشور وجود دارد، این تحقیق در راستای شناسایی ژن‌ها و شبکه تنظیم ژنی صفات تولید و ترکیبات شیر گوسفند پایه ریزی شد. آنالیزهای پویش ژنومی منجر به شناسایی مناطق ژنومی کاندیدا برای صفات تولید و ترکیبات شیر گردید. استفاده از روش ماتریس AWM و ترسیم شبکه تنظیم ژنی نهایتاً باعث شناسایی ژن‌های جدید مؤثر بر تولید و ترکیبات شیر گوسفند گردید که به نوعی اثر پلیوتروپی دارند. از نظر کاربردی در توسعه صنعت پرورش گوسفند شیری و تولید شیر و فرآورده‌های شیر گوسفند می‌تواند بسیار موثر باشد. همچنین رویکرد مطالعه حاضر باعث تشخیص ژن‌های مؤثر بر فتوتیپ‌های با ساختار ژنتیکی پیچیده شد. نتایج این مطالعه نشان داد که رویکرد ماتریس AWM برای بررسی و ترسیم شبکه‌های تنظیم ژنی در خصوص

## منابع

- Bader, G. D., and Hogue, C. W. (2003). An automated method for finding molecular complexes in large protein interaction networks. *BMC bioinformatics*, 4(1), 1-27.
- Caraux, G., and Pinloche, S. (2005). PermutMatrix: a graphical environment to arrange gene expression profiles in optimal linear order. *Bioinformatics*, 21(7), 1280-1281.
- Dennis, G., Sherman, B. T., Hosack, D. A., Yang, J., Gao, W., Lane, H. C., and Lempicki, R. A. (2003). DAVID: database for annotation, visualization, and integrated discovery. *Genome biology*, 4(9), 1-11.
- Du, X., Turner, N., and Yang, H. (2018). The role of oxysterol-binding protein and its related proteins in cancer. In *Seminars in cell and developmental biology* (Vol. 81, pp. 149-153). Academic Press.
- Evans, J. C., Frayling, T. M., Cassell, P. G., Saker, P. J., Hitman, G. A., Walker, M., and Hattersley, A. T. (2001). Studies of association between the gene for calpain-10 and type 2 diabetes mellitus in the United Kingdom. *The American Journal of Human Genetics*, 69(3), 544-552.
- Fortes, M. R., Reverter, A., Zhang, Y., Collis, E., Nagaraj, S. H., Jonsson, N. N., and Hawken, R. J. (2010). Association weight matrix for the genetic dissection of puberty in beef cattle. *Proceedings of the National Academy of Sciences*, 107(31), 13642-13647.
- Haile, A., Hilali, M., Hassen, H., Lobo, R. N. B., and Rischkowsky, B. (2019). Estimates of genetic parameters and genetic trends for growth, reproduction, milk production and milk composition traits of Awassi sheep. *animal*, 13(2), 240-247.
- Kang, Y. Y., Liu, Y., Wang, M. L., Guo, M., Wang, Y., and Cheng, Z. F. (2017). Construction and analyses of the microRNA-target gene differential regulatory network in thyroid carcinoma. *PloS one*, 12(6), e0178331.
- Li, C., Sun, D., Zhang, S., Liu, L., Alim, M. A., and Zhang, Q. (2016). A post-GWAS confirming the SCD gene associated with milk medium-and long-chain unsaturated fatty acids in Chinese Holstein population. *Animal genetics*, 47(4), 483-490.

- Li, C., Wang, M., Cai, W., Liu, S., Zhou, C., Yin, H., and Zhang, S. (2018). Genetic analyses confirm SNPs in HSPA8 and ERBB2 are associated with milk protein concentration in Chinese Holstein cattle. *Genes*, 10(2), 104.
- Li, R., Ma, Y., and Jiang, L. (2022). Research Progress of Dairy Sheep Milk Genes. *Agriculture*, 12(2), 169.
- Okajima, T., Gu, Y., Teruya, R. I., Yano, S., Taketomi, T., Sato, B., and Tsuruta, F. (2020). Atypical cadherin FAT3 is a novel mediator for morphological changes of microglia. *eneuro*, 7(6).
- Pucharcos, C., Estivill, X., and de la Luna, S. (2000). Intersectin 2, a new multimodular protein involved in clathrin-mediated endocytosis. *FEBS letters*, 478(1-2), 43-51.
- Purcell, S., Neale, B., Todd-Brown, K., Thomas, L., Ferreira, M. A., Bender, D., and Sham, P. C. (2007). PLINK: a tool set for whole-genome association and population-based linkage analyses. *The American journal of human genetics*, 81(3), 559-575.
- Ramzan, K., Al-Numair, N. S., Al-Ageel, S., Elbaik, L., Sakati, N., Al-Hazzaa, S. A., and Imtiaz, F. (2020). Identification of novel CDH23 variants causing moderate to profound progressive nonsyndromic hearing loss. *Genes*, 11(12), 1474.
- Raynal-Ljutovac, K., Lagriffoul, G., Paccard, P., Guillet, I., and Chilliard, Y. (2008). Composition of goat and sheep milk products: An update. *Small ruminant research*, 79(1), 57-72.
- Reverter, A., and Chan, E. K. (2008). Combining partial correlation and an information theory approach to the reversed engineering of gene co-expression networks. *Bioinformatics*, 24(21), 2491-2497.
- Reverter, A., and Fortes, M. R. (2013). Association weight matrix: a network-based approach towards functional genome-wide association studies. In *Genome-Wide Association Studies and Genomic Prediction* (pp. 437-447). Humana Press, Totowa, NJ.
- Shannon, P., Markiel, A., Ozier, O., Baliga, N. S., Wang, J. T., Ramage, D., and Ideker, T. (2003). Cytoscape: a software environment for integrated models of biomolecular interaction networks. *Genome research*, 13(11), 2498-2504.
- Simboeck, E., Gutierrez, A., Cozzuto, L., Beringer, M., Caizzi, L., M Keyes, W., and Di Croce, L. (2013). DPY30 regulates pathways in cellular senescence through ID protein expression. *The EMBO journal*, 32(16), 2217-2230.
- Sutera, A. M., Portolano, B., Di Gerlando, R., Sardina, M. T., Mastrangelo, S., and Tolone, M. (2018). Determination of milk production losses and variations of fat and protein percentages according to different levels of somatic cell count in Valle del Belice dairy sheep. *Small Ruminant Research*, 162, 39-42.
- Sutera, A. M., Riggio, V., Mastrangelo, S., Di Gerlando, R., Sardina, M. T., Pong-Wong, R., and Portolano, B. (2019). Genome-wide association studies for milk production traits in Valle del Belice sheep using repeated measures. *Animal genetics*, 50(3), 311-314.
- Suthar, M. K., Purva, M., Maherchandani, S., and Kashyap, S. K. (2016). Identification and in silico analysis of cattle DExH/D box RNA helicases. *Springerplus*, 5(1), 1-13.
- Williams, M. M., Vaught, D. B., Joly, M. M., Hicks, D. J., Sanchez, V., Owens, P., and Cook, R. S. (2017). ErbB3 drives mammary epithelial survival and differentiation during pregnancy and lactation. *Breast Cancer Research*, 19(1), 1-14.
- Yang, Z., Shah, K., Khodadadi-Jamayran, A., and Jiang, H. (2016). Dpy30 is critical for maintaining the identity and function of adult hematopoietic stem cells. *Journal of Experimental Medicine*, 213(11), 2349-2364.
- Zaghlool, A., Halvardson, J., Zhao, J. J., Etemadikhah, M., Kalushkova, A., Konska, K., and Feuk, L. (2016). A role for the chromatin-remodeling factor BAZ1A in neurodevelopment. *Human mutation*, 37(9), 964-975.